

ЭВРИСТИЧЕСКИЕ ВЕРОЯТНОСТНЫЕ АЛГОРИТМЫ ОРТОГОНАЛЬНОГО ПРОЕКТИРОВАНИЯ ТОЧКИ НА МНОЖЕСТВО*

М. Э. Аббасов

abbasov.majid@gmail.com

19 ноября 2015 г.

Аннотация. Задача ортогонального проектирования точки на множество возникает во многих отраслях математики и ее приложениях. Существуют эффективные методы проектирования (см. например [1–5]), позволяющие находить решение с любой наперед заданной точностью. Однако, как правило, для запуска этих алгоритмов необходимо начальное приближение. Его поиск является самостоятельной, подчас достаточно сложной, задачей. Трудность заключается еще и в том, что при неудачном выборе начального приближения применяемые методы могут приводить к локальным минимумам. Поэтому на практике возникает необходимость в вычислительных процедурах, позволяющих, пусть и грубо, получать начальные точки, находящиеся в некоторой окрестности глобального решения.

Отметим, что в некоторых задачах даже такое грубое приближение может быть принято в качестве решения. Так, при реализации многих методов оптимизации негладких функций на каждой итерации решается подзадача по поиску проекции начала координат на некоторый выпуклый компакт (см. [6–10]). Эта проекция определяет направление наискорейшего спуска/подъема, вдоль которого делается некий положительный шаг, в результате чего значение функции на очередной итерации уменьшается/увеличивается. В таких методах можно двигаться и вдоль направлений, близких к указанному – это также обеспечивают убывание/рост функции.

В данной работе предлагается несколько простых, эффективных вычислительных процедур, использующих случайный поиск для нахождения начального приближения в задаче ортогонального проектирования точки на множество. Они, как и другие представители класса вероятных методов [11], нала-

*Семинар по конструктивному негладкому анализу и недифференцируемой оптимизации «CNSA & NDO»: <http://www.apmath.spbu.ru/cnsa/>

гают незначительные ограничения на исследуемую задачу: множество может иметь достаточно сложную структуру, важно лишь чтобы мы могли проверить принадлежность произвольной точки этому множеству.

1°. Постановка задачи. Рассмотрим задачу

$$\begin{cases} \|x - \tilde{x}\| \longrightarrow \inf \\ x \in X \end{cases} \quad (1)$$

где $X \subset \mathbb{R}^n$ — некоторое замкнутое множество. Без уменьшения общности можно считать $\tilde{x} = 0_n$. С учетом сказанного, (1) переписывается в виде

$$\begin{cases} \|x\| \longrightarrow \min \\ x \in X \end{cases}$$

Эту задачу и будем рассматривать в дальнейшем.

2°. Базовый алгоритм. Выберем некоторое малое $\varepsilon > 0$, натуральное m , произвольную точку $x_0 \in \mathbb{R}^n$, такую что $\mathbb{U}_{\|x_0\|} \cap X \neq \emptyset$. Здесь $\mathbb{U}_r = \{x \in \mathbb{R}^n \mid \|x\| < r\}$ — открытый шар радиуса r с центром в начале координат. Если размерность множества X (или какой-то его части) меньше размерности пространства, рассматриваем множество X с некоторой его ε окрестностью. Такое множество обозначим X_ε . Опишем алгоритм.

Предположим имеется $x_k \in X_\varepsilon$. Принимаем $j = 0$.

- 1) Генерируем с помощью многомерного равномерного распределения на $\mathbb{U}_{\|x_k\|}$ случайный вектор y_j , проверяем условие $y_j \in X_\varepsilon$.
- 2) Если условие выполнено, принимаем $x_{k+1} = y_j$, $j = 0$, увеличиваем k на единицу и переходим к следующей итерации.
- 3) Если условие не выполнено, и
 - (а) $j < m$, то увеличиваем j на единицу и переходим к шагу 1;
 - (б) $j = m$, то принимаем $x_* = x_k$ и завершаем процесс.

Использование ε -окрестности множества вместо самого множества обусловлено тем, что при размерности X меньшей размерности пространства, вероятность попадания случайной точки в X будет равна нулю. Очевидно, если размерность множества X равна n , можно принять $\varepsilon = 0$. Если X задано с помощью равенств и неравенств, то для определения X_ε можно неравенства $g(x) \leq 0$ заменить на $g(x) \leq \varepsilon$, а равенства $g(x) = 0$ на $|g(x)| \leq \varepsilon$. Идея самого алгоритма достаточно проста для программной реализации. Однако в большинстве математических пакетов и языков программирования встроенными

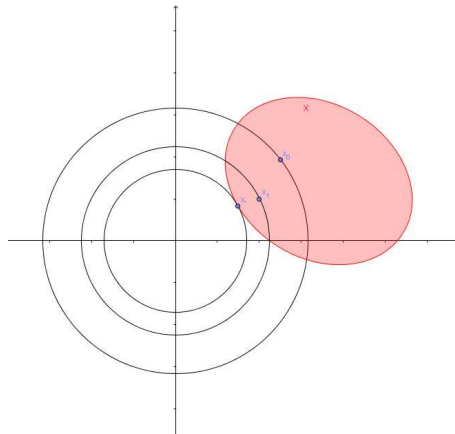


Иллюстрация работы базового алгоритма

средствами удастся генерировать случайные вектора равномерно распределенные лишь на параллелепипеде. Это препятствие можно обойти, установив взаимно однозначное соответствие между открытым кубом с центром в нуле и ребрами длины 2, параллельными осям координат, и открытым шаром единичного радиуса с центром в нуле.

Возьмем точку $z = (z^{(1)}, \dots, z^{(n)})$ из куба $(-1, 1) \times \dots \times (-1, 1)$, и пусть $|z^{(i)}| = \max\{|z^{(1)}|, \dots, |z^{(n)}|\} > 0$. Прямая, проходящая через начало координат O и точку z , очевидно, пересечет ту грань куба, в которой i -я координата равна $\text{sign } z^{(i)}$. Точку пересечения обозначим A .

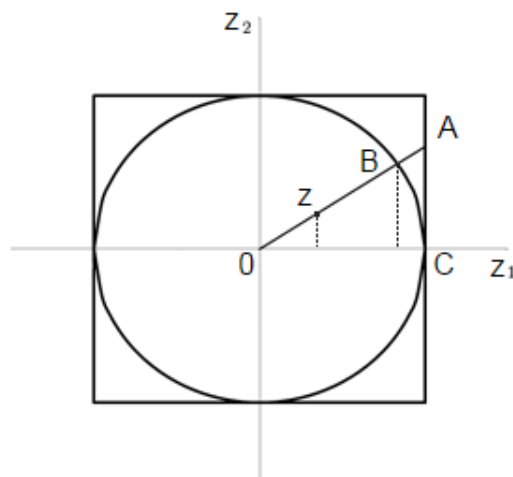


Рис. 1. Взаимно однозначное соответствие в двумерном случае

Имеем

$$\frac{OA}{1} = \frac{\|z\|}{|z^{(i)}|}, \quad (2)$$

то есть $OA = \frac{\|z\|}{\max\{|z^{(1)}|, \dots, |z^{(n)}|\}}$. В справедливости (2) при $n = 2$ можно убедиться на рис. 1. Уменьшая каждую из координат вектора z в OA раз, получим соответствующую точку из открытого единичного шара с центром в нуле. Итак, окончательно,

$$z \Leftrightarrow y = \frac{\max\{|z^{(1)}|, \dots, |z^{(n)}|\}}{\|z\|} z.$$

Ясно, что построенное таким образом соответствие является взаимно однозначным.

Замечание. Использование сферических координат для построения указанного соответствия является более дорогостоящим с вычислительной точки зрения. Так, предложенный метод требует порядка $O(n)$ простейших арифметических операций для перехода от точки в кубе к точке в шаре, в то время, как подход, основанный на использовании сферических координат, для аналогичного перехода потребовал бы $O(n^2)$ таких операций, и такого же количества вычислений тригонометрических функций.

3°. Алгоритм с половинным делением. Можно усилить алгоритм используя идею половинного деления. Обозначим

$$\mathbb{U}_{r,R} = \{x \in \mathbb{R}^n \mid r < \|x\| < R\}$$

открытый шар радиуса R с вырезанной центральной частью радиуса r .

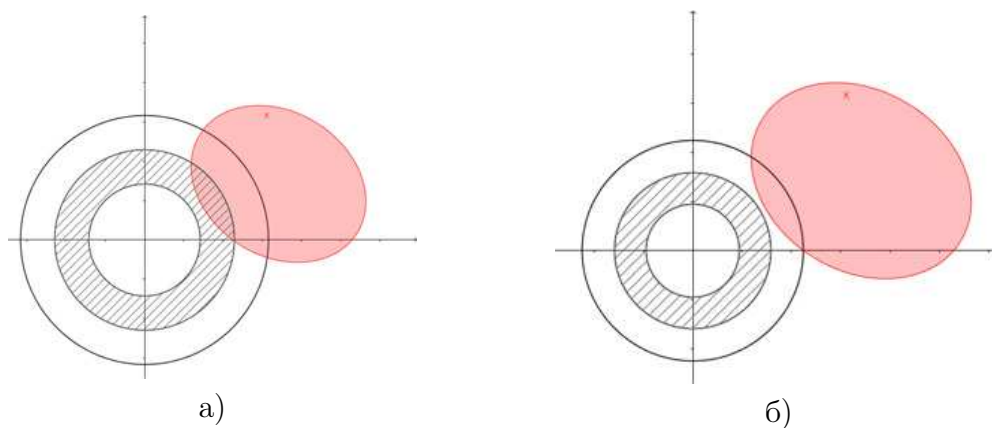
Выберем произвольную точку $x_0 \in X$, $R_0 = \|x_0\|$, $r_0 = 0$, некое натуральное m , и малое $\varepsilon > 0$, $\tilde{\varepsilon} > 0$. Пусть имеется x_k, r_k, R_k . Принимаем $j = 0$.

- 1) Генерируем с помощью многомерного равномерного распределения на $\mathbb{U}_{r_k, \frac{R_k+r_k}{2}}$ случайный вектор y_j , проверяем условие $y_j \in X_\varepsilon$.
- 2) Если условие выполнено, принимаем $R_{k+1} = \|y_j\|$, $r_{k+1} = r_k$, $x_{k+1} = y_j$, $j = 0$, переходим к пункту 4.
- 3) Если условие не выполнено и
 - (а) $j < m$, то увеличиваем j на единицу и переходим к шагу 1;
 - (б) $j = m$, принимаем $r_{k+1} = \frac{R_k+r_k}{2}$, $R_{k+1} = R_k$, $x_{k+1} = x_k$, переходим к пункту 4.

4) Проверяем критерий остановки

$$\|R_{k+1} - r_{k+1}\| \leq \tilde{\varepsilon}, \quad (3)$$

- (а) если он выполнен, то принимаем $x_* = x_{k+1}$ и заканчиваем вычисления,
- (б) если он не выполнен, то увеличиваем k на единицу и переходим к следующей итерации.



Штриховкой указана область, в которой генерируются случайные точки. Случаи: а) $r_{k+1} = r_k$, $R_{k+1} = \|y\|$. б) $r_{k+1} = \frac{R_k + r_k}{2}$, $R_{k+1} = R_k$.

Для генерации равномерно распределенных на $\mathbb{U}_{r,R}$ векторов нужно воспользоваться идеей, аналогичной использованной в предыдущем пункте. Пусть точка

$$z = (z^{(1)}, \dots, z^{(n)}) \in (-1, 1) \times \dots \times (-1, 1).$$

Тогда с помощью взаимно однозначного соответствия

$$z \Leftrightarrow y = r \frac{u}{\|u\|} + (R - r)u, \quad u = \frac{z}{\|z\|} \max_{i \in 1:m} |z^{(i)}|$$

получаем требуемое.

4°. Алгоритм с обучением. В двух описанных выше алгоритмах при генерации случайных точек все направления равнозначны, мы движемся «вслепую», никак не используя информацию с предыдущих итераций. Ясно однако, что точки множества x , полученные на предыдущих шагах определяют некое перспективное направления поиска. Логичнее было бы построить алгоритм так, чтобы в процессе вычислений он перестраивал закон распределения, делая перспективные направления более вероятными и одновременно корректируя само это перспективное направление на основании вновь полученной информации. Алгоритмы, обладающие такими свойствами, называю алгоритмами с обучением [12].

Выберем произвольную точку $x_0 \in X$, $\omega_0 = 0_n$, $\beta \in \mathbb{R}$, $\delta \in \mathbb{R}$, натуральное m , и малое ε . Пусть имеется x_k, ω_k . Принимаем $j = 0$.

- 1) Получаем с помощью генератора случайных векторов, равномерно распределенных на открытом единичном шаре \mathbb{U}_1 с центром в нуле, элемент η ; вычисляем

$$y_j = \frac{\omega_k + \eta}{\|\omega_k + \eta\|} \frac{\|x\|}{2} + \frac{x}{2}; \quad (4)$$

проверяем условие $y_j \in X_\varepsilon$.

- 2) Если условие выполнено, принимаем $x_{k+1} = y_j$, $\omega_{k+1} = \beta\omega_k + \delta x_{k+1}$, $j = 0$, увеличиваем k на единицу и переходим к следующей итерации.
- 3) Если условие не выполнено и
- (a) $j < m$, то увеличиваем j на единицу и переходим к шагу 1;
 - (b) $j = m$, то принимаем $x_* = x_k$ и завершаем процесс.

Параметр β называют коэффициентом забывания, а δ – коэффициентом интенсивности обучения. Таким образом происходит накопление успешного опыта, полученного на предыдущих итерациях, и ω_k все точнее указывает направление, в котором лежит решение задачи.

Из (4) следует, что при больших значениях нормы вектора ω_k , именно это направление является главным направлением случайного варьирования x_k . Однако из того же выражения очевидно, что при очень больших значениях нормы вектора ω , метод становится излишне детерминированным (роль случайного вектора η становится незначительной) и алгоритм теряет способность к быстрому обучению. Для преодоления этой проблемы приходится ограничивать возможность чрезмерного доминирования ω .

С этой целью во второй пункт изложенного выше алгоритма можно ввести дополнительную проверку, сравнивая норму полученного ω_{k+1} с некоторым заранее выбранным числом c , принимая

$$\omega_{k+1} = c \frac{\omega_{k+1}}{\|\omega_{k+1}\|}, \text{ если } \|\omega_{k+1}\| > c.$$

5°. Численные эксперименты. Покажем, как указанные подходы работает на примерах¹. Во всех примерах, если не оговорено иное, принимается $\varepsilon = 0.001$, $\tilde{\varepsilon} = 0.001$, $m = 5000$, $\beta = 1$, $\delta = 1$, $c = 25$, задача каждый раз решается 100 раз, выводятся средние значения отклонения от точного решения и среднее время работы предложенных алгоритмов в секундах.

¹Вычисления велись в математическом пакете MATLAB R2013, на компьютере с ЦП Core i5-3450, 3.1 GHz; ОЗУ 8,00 ГБ DDR3 1833MHz, ОС Windows 10

ПРИМЕР 1. Пусть в \mathbb{R}^3 нужно найти расстояние от начала координат до множества

$$\begin{cases} x^{(1)} + x^{(2)} + x^{(3)} = 1 \\ x^{(i)} \geq 0, \quad i = 1, 2, 3 \end{cases}$$

Приняв $x_0 = (1/2, 1/2, 1/4)^T$, получим

Алгоритм	$\ x - x_*\ $	<i>time</i>
Исходный	0.1531	0.2403
С дихотомией	0.0191	0.9059
С обучением	0.0006	0.8675

ПРИМЕР 2. Найдем в \mathbb{R}^2 расстояние от начала координат до эллипсоида

$$X = \{x \in \mathbb{R}^2 \mid 4x^{(1)2} + 2x^{(2)2} + 5x^{(1)}x^{(2)} - 30x^{(1)} - 21x^{(2)} + 47 \leq 0\}.$$

Здесь размерность множества совпадает с размерностью пространства, поэтому можно принять $\varepsilon = 0$. Начальную точку возьмем $x_0 = (2, 2)^T$. Имеем

Алгоритм	$\ x - x_*\ $	<i>time</i>
Исходный	0.057874	0.0738
С дихотомией	0.0015	0.7616
С обучением	0.000006	0.2610

ПРИМЕР 3. Найдем минимальное расстояние от нуля до надграфика функции

$$x^{(2)} = \min \{ |x^{(1)} + 1| + 1; |x^{(1)} - 1| + 1 \}.$$

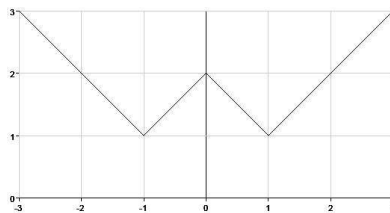


График функции из примера 3

Принимаем $\varepsilon = 0$. Очевидно, здесь два возможных решения $x_* = (1, 1)^T$ и $x_{**} = (-1, 1)^T$. Выберем $x_0 = (0, 2)^T$, равноудаленную от решений. Имеем

Алгоритм	$\min \{\ x - x_*\ ; \ x - x_{**}\ \}$	<i>time</i>	N_1	N_2
Исходный	0.045703	0.0697	46	54
С дихотомией	0.00088	0.7753	49	51
С обучением	0.000006	0.3129	55	45

N_1 – количество решений из окрестности x_* ,

N_2 – количество решений из окрестности x_{**} .

ПРИМЕР 4. Найдем минимальное расстояние от нуля до надграфика функции

$$x^{(2)} = \min \{|x^{(1)} + 2| + 2; |x^{(1)} - 1| + 1\}$$

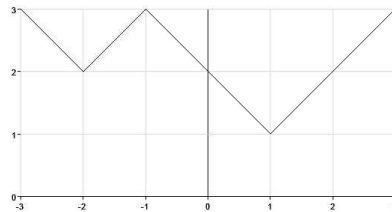


График функции из примера 4

Возьмем $\varepsilon = 0$, в качестве начальной выберем точку $x_0 = (-2, 3)^T$, расположенную ближе к локальному решению $x_{**} = (-2, 2)^T$, чем к глобальному $x_* = (1, 1)^T$. Получим

Алгоритм	$\ x - x_*\ $	<i>time</i>	N_1	N_2
Исходный	0.051789	0.0731	100	0
С дихотомией	0.0027	0.7950	100	0
С обучением ¹	1.1384	0.3619	64	36
С обучением ²	0.000144	0.2697	100	0

N_1 – количество решений из окрестности x_* ,

N_2 – количество решений из окрестности x_{**} ,

¹ при $\beta = 1, \delta = 1, c = 25$,

² при $\beta = 1, \delta = 1, c = 1$.

ПРИМЕР 5. Пусть $x \in \mathbb{R}^n$. Найдем минимальное расстояние от нуля до надграфика функции от n переменных

$$x^{(2)} = \min \{|x^{(1)} + 2| + 2; |x^{(1)} - 1| + 1\}$$

при различных n . В качестве начальной точки возьмем случайный n -мерный вектор с элементами из $(0, 1)$ умноженный на 5, примем $\varepsilon = 0$.

Исходный алгоритм	$n = 5^I$	$n = 7^{II}$	$n = 10^{III}$	$n = 12^{IV}$
$\ x - x_*\ $	0.4340	0.4872	0.6877	0.8069
<i>time</i>	0.0680	0.7646	8.2627	15.8842

^I $m = 5 \cdot 10^3$, ^{II} $m = 5 \cdot 10^4$, ^{III} $m = 5 \cdot 10^5$, ^{IV} $m = 10^6$.

Алгоритм с дихотомией	$n = 5^I$	$n = 7^{II}$	$n = 10^{III}$	$n = 12^{IV}$
$\ x - x_*\ $	0.2683	0.3805	0.5769	0.7167
<i>time</i>	1.1362	13.5747	141.1904	298.2748

^I $m = 5 \cdot 10^3$, ^{II} $m = 5 \cdot 10^4$, ^{III} $m = 5 \cdot 10^5$, ^{IV} $m = 10^6$.

Алгоритм с обучением	$n = 5^I$	$n = 10^{II}$	$n = 100^{III}$	$n = 1000^{IV}$
$\ x - x_*\ $	0.2291	0.2428	0.2538	0.1787
<i>time</i>	0.0793	0.0643	0.2970	11.913

^I $\beta = 0.05, \delta = 1, c = 2, m = 5 \cdot 10^3$

^{II} $\beta = 0.05, \delta = 3, c = 4, m = 5 \cdot 10^3$

^{III} $\beta = 0.05, \delta = 17, c = 20, m = 5 \cdot 10^3$

^{IV} $\beta = 0.05, \delta = 50, c = 75, m = 5 \cdot 10^3$

6°. Выводы. Обратной стороной эффективности алгоритма с обучением является возможное его «застревание» в локальном решении в случае невыпуклого множества X . Для преодоления этой проблемы нужно, чтобы алгоритм имел способность быстро обучаться, а для этого следует выбирать малые значения параметра c , которые, однако, приходится увеличивать при увеличении размерности пространства (см. пример 5).

В то же время для первых двух алгоритмов, в силу использования ими «слепого» поиска, не важно выпукло множество X или нет. Но, как показывает практика, они плохо работают в задачах больших размерностей — для получения приемлемой точности приходится увеличивать m , что приводит к значительному росту времени расчетов. Отметим, что алгоритм с дихотомией, как правило, работает дольше исходного, но выдает более точное решение.

Предложенные вычислительные процедуры могут быть использованы для поиска начального приближения, находящегося в окрестности глобального решения, откуда можно запускать более совершенные методы. Такая комбинация методов позволяет находить глобальное решение. К примеру, предлагаемая идея тандемного использования алгоритмов делает возможным применение метода заряженных шариков и к невыпуклым задачам.

7°. Благодарности. Работа выполнена при поддержке Санкт-Петербургского Государственного Университета в рамках гранта 9.38.205.2014.

ЛИТЕРАТУРА

1. Аббасов М. Э. *Метод заряженных шариков* // Семинар «DNA & CAGD». Избранные доклады. 21 мая 2015 г. (<http://www.apmath.spbu.ru/cnsa/reps15.shtml#0521>)
2. A. Lin, S. P. Han, *On the distance between two ellipsoids* // SIAM Journal on Optimization, 2002. Vol. 13. P. 298–308.
3. S.-M. Hu, J. Wallner, *A second order algorithm for orthogonal projection onto curves and surfaces* // Computer Aided Geometric Design, 2005. Vol. 22. P. 251–260.
4. Лебедев Д. М., Полякова Л. Н. *Задача проектирования нулевой точки на квадрату* // Вестник СПбГУ. Сер. 10, 2013. Вып. 1. С. 11–17.
5. Тамасян Г. Ш., Чумаков А. А. *Нахождение расстояния между эллипсоидами* // Дискретн. анализ и исслед. опер., 2014. Т. 21, № 3, С. 87–102.
6. V. F. Demyanov, A. M. Rubinov, *Constructive Nonsmooth Analysis, Approximation & Optimization* // Vol. 7. Peter Lang, Frankfurt am Main, 1995. iv+416 pp.
7. V. F. Demyanov, *Exhausters and Convexifiers – New Tools in Nonsmooth Analysis* // In: V. Demyanov and A. Rubinov (Eds.) Quasidifferentiability and related topics. Dordrecht: Kluwer Academic Publishers, 2000. P. 85–137.
8. V. F. Demyanov, V. A. Roschina, *Optimality conditions in terms of upper and lower exhausters* // Optimization. Vol. 55, Issue 5-6, 2006. P. 525–540.
9. M. E. Abbasov, V. F. Demyanov, *Proper and adjoint exhausters in nonsmooth analysis: optimality conditions* // J. Glob. Optim., 2013. Vol. 56, Issue 2, P. 569–585.
10. M. E. Abbasov, V. F. Demyanov, *Adjoint Coexhausters in Nonsmooth Analysis and Extremality Conditions* // Journal of Optimization Theory and Applications. Vol. 156, Issue 3, 2013. P. 535–553.
11. Жиглявский А. А. *Математическая теория глобального случайного поиска* // Л.: Изд-во ЛГУ, 1985. 296 с.
12. Васильев Ф. П. *Методы оптимизации* // М.: Издательство «Факториал Пресс», 2002. 824 с.